



灵星芯微 集成电路

SN74HC/HCT165

8位并入串出移位寄存器

产品说明书

说明书发行履历:

版本	发行时间	新制/修订内容
2021-10-A1	2021-10	新制
2023-05-B1	2023-05	更换模板



灵星芯微 集成电路

目 录

1、概述.....	3
2、功能框图及引脚说明.....	6
2.1、功能框图.....	6
2.2、引脚排列图.....	7
2.3、引脚说明.....	8
2.4、功能表.....	8
3、电特性.....	9
3.1、极限参数.....	9
3.2、推荐使用条件.....	9
3.3、电气特性.....	10
3.3.1、直流参数 1.....	10
3.3.2、直流参数 2.....	11
3.3.3、直流参数 3.....	12
3.3.4、交流参数 1.....	13
3.3.5、交流参数 2.....	15
3.3.6、交流参数 3.....	17
4、测试线路.....	19
4.1、交流测试线路.....	19
4.2、交流测试波形.....	20
4.3、测试点.....	22
4.4、测试数据.....	22
5、封装尺寸与外形图.....	23
5.1、DIP16 外形图与封装尺寸.....	23
5.2、SOP16 外形图与封装尺寸.....	24
5.3、TSSOP16 外形图与封装尺寸.....	25
6、声明及注意事项.....	26
6.1、产品中有毒有害物质或元素的名称及含量.....	26
6.2、注意.....	26



1、概述

SN74HC/HCT165 是一个 8 位串行或并行输入/串行输出移位寄存器。该电路具有一个串行数据输入 (DS)，八个并行数据输入 (D0~D7) 和两个互补的串行输出 (Q7 和 $\bar{Q}7$)。当并行加载输入 (\bar{PL}) 为低电平时，将 D0 到 D7 的数据异步加载到移位寄存器中。当 \bar{PL} 为高电平时，数据在 DS 处串行进入寄存器。当时钟使能输入 (\bar{CE}) 为低电平时，数据在 CP 输入上升沿时移位。 \bar{CE} 上的高电平将禁用 CP 输入。

其主要特点如下：

- 输入电平：

SN74HC165: CMOS 电平

SN74HCT165: TTL 电平

- 异步 8 位并行加载
- 同步串行输入
- 工作环境温度范围: $-40^{\circ}\text{C} \sim +125^{\circ}\text{C}$
- 封装形式: DIP16/SOP16/TSSOP16



订购信息:

管装:

产品料号	封装形式	打印标识	管装数	盒装管	盒装数	备注说明
SN74HC165N(LX)	DIP16	SN74HC165N	25 PCS/管	40 管/盒	1000 PCS/盒	塑封体尺寸: 19.1mm×6.4mm 引脚间距: 2.54mm
SN74HCT165N(LX)	DIP16	SN74HCT165N	25 PCS/管	40 管/盒	1000 PCS/盒	塑封体尺寸: 19.1mm×6.4mm 引脚间距: 2.54mm
SN74HC165DR(LX)	SOP16	SN74HC165	50 PCS/管	200 管/盒	10000 PCS/盒	塑封体尺寸: 9.9mm×3.9mm 引脚间距: 1.27mm
SN74HCT165DR(LX)	SOP16	SN74HCT165	50 PCS/管	200 管/盒	10000 PCS/盒	塑封体尺寸: 9.9mm×3.9mm 引脚间距: 1.27mm
SN74HC165PW(LX)	TSSOP16	SN74HC165	96 PCS/管	200 管/盒	19200 PCS/盒	塑封体尺寸: 5.0mm×4.4mm 引脚间距: 0.65mm
SN74HCT165PW(LX)	TSSOP16	SN74HCT165	96 PCS/管	200 管/盒	19200 PCS/盒	塑封体尺寸: 5.0mm×4.4mm 引脚间距: 0.65mm



灵星芯微 精芯经营

编带:

产品料号	封装形式	打印标识	编带盘装数	编带盒装数	备注说明
SN74HC165DR(LX)	SOP16	SN74HC165	4000PCS/盘	8000PCS/盒	塑封体尺寸: 10.0mm×3.9mm 引脚间距: 1.27mm
SN74HCT165DR(LX)	SOP16	SN74HCT165	4000PCS/盘	8000PCS/盒	塑封体尺寸: 10.0mm×3.9mm 引脚间距: 1.27mm
SN74HC165PW(LX)	TSSOP16	SN74HC165	5000PCS/盘	10000PCS/盒	塑封体尺寸: 5.0mm×4.4mm 引脚间距: 0.65mm
SN74HCT165PW(LX)	TSSOP16	SN74HCT165	5000PCS/盘	10000PCS/盒	塑封体尺寸: 5.0mm×4.4mm 引脚间距: 0.65mm

注: 如实物与订购信息不一致, 请以实物为准。



2、功能框图及引脚说明

2.1、功能框图

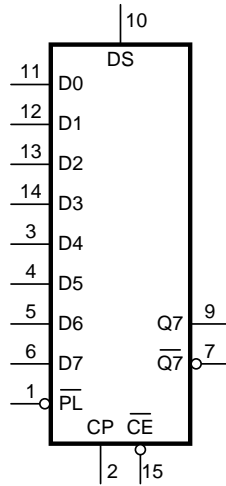


图 1 逻辑符号

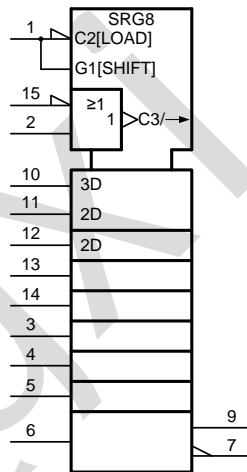


图 2 IEC 逻辑符号

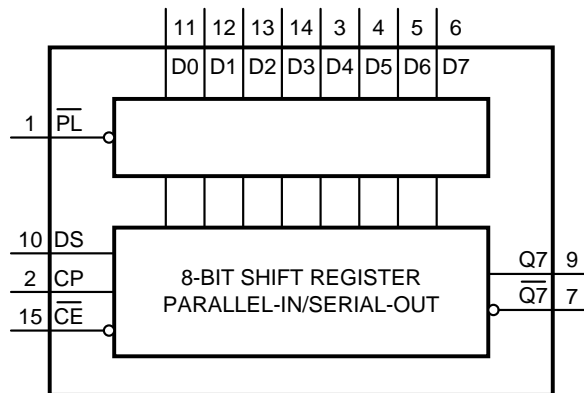


图 3 功能框图

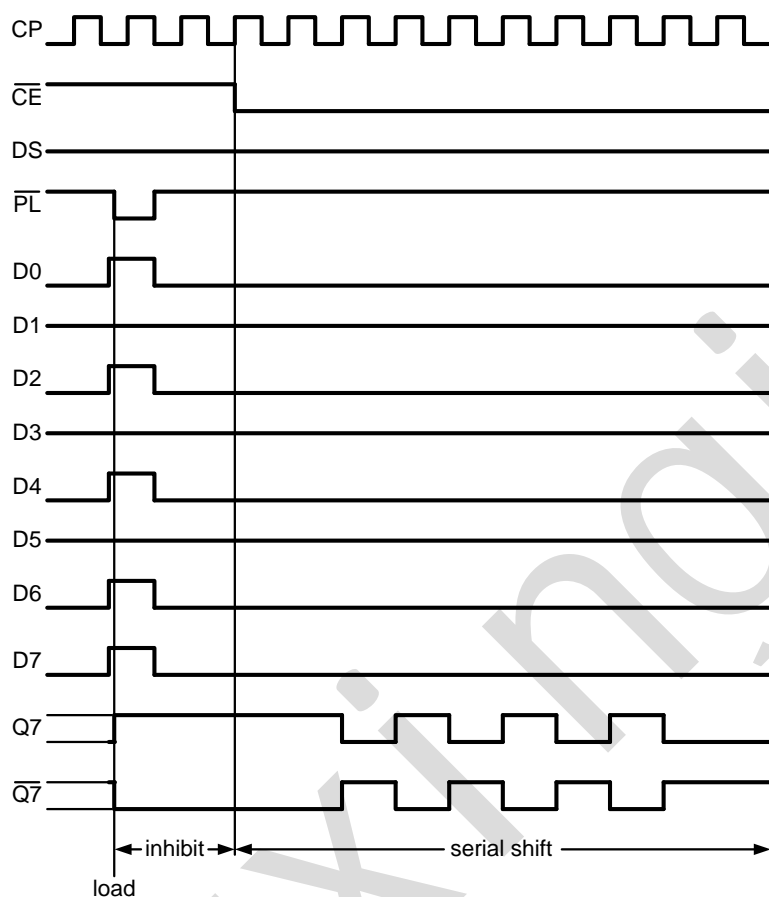
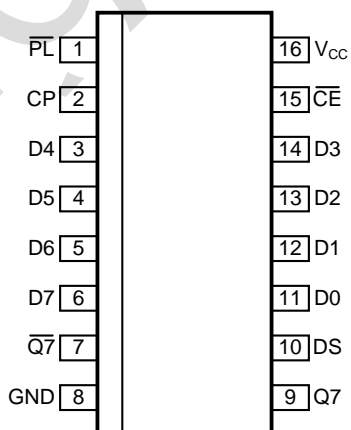


图 4 时序图

2.2、引脚排列图





2.3、引脚说明

引脚	符号	功能
1	$\overline{\text{PL}}$	异步并行负载输入（低电平有效）
2	CP	时钟输入（低到高边沿触发）
3	D4	并行数据输入（也称为 Dn）
4	D5	并行数据输入（也称为 Dn）
5	D6	并行数据输入（也称为 Dn）
6	D7	并行数据输入（也称为 Dn）
7	$\overline{\text{Q7}}$	末级互补输出
8	GND	地（0V）
9	Q7	末级串行输出
10	DS	串行数据输入
11	D0	并行数据输入（也称为 Dn）
12	D1	并行数据输入（也称为 Dn）
13	D2	并行数据输入（也称为 Dn）
14	D3	并行数据输入（也称为 Dn）
15	$\overline{\text{CE}}$	时钟使能输入（低电平有效）
16	V _{CC}	电源电压

2.4、功能表

工作模式	输入					Qn 寄存器		输出	
	$\overline{\text{PL}}$	$\overline{\text{CE}}$	CP	DS	D0 to D7	Q0	Q1 to Q6	Q7	$\overline{\text{Q7}}$
并行负载	L	X	X	X	L	L	L to L	L	H
	L	X	X	X	H	H	H to H	H	L
串行移位	H	L	↑	l	X	L	q0 to q5	q6	$\overline{\text{q6}}$
	H	L	↑	h	X	H	q0 to q5	q6	$\overline{\text{q6}}$
	H	↑	L	l	X	L	q0 to q5	q6	$\overline{\text{q6}}$
	H	↑	L	h	X	H	q0 to q5	q6	$\overline{\text{q6}}$
保持	H	H	X	X	X	q0	q1 to q6	q7	$\overline{\text{q7}}$
	H	X	H	X	X	q0	q1 to q6	q7	$\overline{\text{q7}}$

注：H=高电平；

h=建立时间阶段到上升沿的高电平；

L=低电平；↑=上升沿；

l=建立时间阶段到上升沿的低电平；

q=建立时间阶段到上升沿的输出状态；

X=无关；

↑=时钟上升沿。



3、电特性

3.1、极限参数

除非另有规定, $T_{amb}=25^{\circ}\text{C}$

参数名称	符号	条件	最小	最大	单位
电源电压	V_{CC}	—	-0.5	+7	V
输入钳位电流	I_{IK}	$V_I < -0.5\text{V}$ 或 $V_I > V_{CC} + 0.5\text{V}$	—	± 20	mA
输出钳位电流	I_{OK}	$V_O < -0.5\text{V}$ 或 $V_O > V_{CC} + 0.5\text{V}$	—	± 20	mA
输出电流	I_O	$-0.5\text{V} < V_O < V_{CC} + 0.5\text{V}$	—	± 25	mA
电源电流	I_{CC}	—	—	50	mA
地电流	I_{GND}	—	-50	—	mA
总功耗	P_{tot}	—	—	500	mW
贮存温度	T_{stg}	—	-65	+150	$^{\circ}\text{C}$
焊接温度	T_L	10 秒	DIP		$^{\circ}\text{C}$
			SOP/TSSOP		260 $^{\circ}\text{C}$

3.2、推荐使用条件

参数名称	符号	条件	最小	典型	最大	单位
SN74HC165						
电源电压	V_{CC}	—	2.0	5.0	6.0	V
输入电压	V_I	—	0	—	V_{CC}	V
输出电压	V_O	—	0	—	V_{CC}	V
工作环境温度	T_{amb}	—	-40	—	+125	$^{\circ}\text{C}$
SN74HCT165						
电源电压	V_{CC}	—	4.5	5.0	5.5	V
输入电压	V_I	—	0	—	V_{CC}	V
输出电压	V_O	—	0	—	V_{CC}	V
工作环境温度	T_{amb}	—	-40	—	+125	$^{\circ}\text{C}$



3.3、电气特性

3.3.1、直流参数 1

(除非另有规定, $T_{amb}=25^{\circ}\text{C}$, $\text{GND}=0\text{V}$)

参数名称	符号	测试条件		最小	典型	最大	单位
SN74HC165							
高电平输入电压	V_{IH}	$V_{CC}=2.0\text{V}$		1.5	1.2	—	V
		$V_{CC}=4.5\text{V}$		3.15	2.4	—	V
		$V_{CC}=6.0\text{V}$		4.2	3.2	—	V
低电平输入电压	V_{IL}	$V_{CC}=2.0\text{V}$		—	0.8	0.5	V
		$V_{CC}=4.5\text{V}$		—	2.1	1.35	V
		$V_{CC}=6.0\text{V}$		—	2.8	1.8	V
高电平输出电压	V_{OH}	$V_I=V_{IH}$ 或 V_{IL}	$I_O=-20\mu\text{A}$; $V_{CC}=2.0\text{V}$	1.9	2.0	—	V
			$I_O=-20\mu\text{A}$; $V_{CC}=4.5\text{V}$	4.4	4.5	—	V
			$I_O=-20\mu\text{A}$; $V_{CC}=6.0\text{V}$	5.9	6.0	—	V
			$I_O=-4.0\text{mA}$; $V_{CC}=4.5\text{V}$	3.98	4.32	—	V
			$I_O=-5.2\text{mA}$; $V_{CC}=6.0\text{V}$	5.48	5.81	—	V
低电平输出电压	V_{OL}	$V_I=V_{IH}$ 或 V_{IL}	$I_O=20\mu\text{A}$; $V_{CC}=2.0\text{V}$	—	0	0.1	V
			$I_O=20\mu\text{A}$; $V_{CC}=4.5\text{V}$	—	0	0.1	V
			$I_O=20\mu\text{A}$; $V_{CC}=6.0\text{V}$	—	0	0.1	V
			$I_O=4.0\text{mA}$; $V_{CC}=4.5\text{V}$	—	0.15	0.26	V
			$I_O=5.2\text{mA}$; $V_{CC}=6.0\text{V}$	—	0.16	0.26	V
输入漏电流	I_I	$V_I=V_{CC}$ 或 GND ; $V_{CC}=6.0\text{V}$		—	—	± 1	μA
静态电流	I_{CC}	$V_I=V_{CC}$ 或 GND ; $I_O=0\text{A}$; $V_{CC}=6.0\text{V}$		—	—	8	μA
输入电容	C_I	—		—	3.5	—	pF
SN74HCT165							
高电平输入电压	V_{IH}	$V_{CC}=4.5\text{V}\sim 5.5\text{V}$		2.0	1.6	—	V
低电平输入电压	V_{IL}	$V_{CC}=4.5\text{V}\sim 5.5\text{V}$		—	1.2	0.8	V
高电平输出电压	V_{OH}	$V_I=V_{IH}$ 或 V_{IL} ; $V_{CC}=4.5\text{V}$	$I_O=-20\mu\text{A}$	4.4	4.5	—	V
			$I_O=-4.0\text{mA}$	3.98	4.32	—	V
低电平输出电压	V_{OL}	$V_I=V_{IH}$ 或 V_{IL}	$I_O=20\mu\text{A}$; $V_{CC}=4.5\text{V}$	—	0	0.1	V
			$I_O=5.2\text{mA}$; $V_{CC}=6.0\text{V}$	—	0.16	0.26	V
输入漏电流	I_I	$V_I=V_{CC}$ 或 GND ; $V_{CC}=6.0\text{V}$		—	—	± 1	μA
静态电流	I_{CC}	$V_I=V_{CC}$ 或 GND ; $I_O=0\text{A}$; $V_{CC}=6.0\text{V}$		—	—	8.0	μA
串通电流	ΔI_{CC}	每个输入引脚; $V_I=V_{CC}-2.1\text{V}$; 其他输入接在 V_{CC} 或 GND 上; $V_{CC}=4.5\text{V}\sim 5.5\text{V}$	Dn和DS输入	—	35	126	μA
			CP, $\bar{\text{CE}}$ 和 $\bar{\text{PL}}$ 输入	—	65	234	μA
输入电容	C_I	—		—	3.5	—	pF



3.3.2、直流参数 2

(除非另有规定, $T_{amb}=-40^{\circ}\text{C}\sim+85^{\circ}\text{C}$, $\text{GND}=0\text{V}$)

参数名称	符号	测试条件		最小	典型	最大	单位
SN74HC165							
高电平输入电压	V_{IH}	$V_{CC}=2.0\text{V}$		1.5	—	—	V
		$V_{CC}=4.5\text{V}$		3.15	—	—	V
		$V_{CC}=6.0\text{V}$		4.2	—	—	V
低电平输入电压	V_{IL}	$V_{CC}=2.0\text{V}$		—	—	0.5	V
		$V_{CC}=4.5\text{V}$		—	—	1.35	V
		$V_{CC}=6.0\text{V}$		—	—	1.8	V
高电平输出电压	V_{OH}	$V_I=V_{IH}\text{或}V_{IL}$	$I_O=-20\mu\text{A}; V_{CC}=2.0\text{V}$	1.9	—	—	V
			$I_O=-20\mu\text{A}; V_{CC}=4.5\text{V}$	4.4	—	—	V
			$I_O=-20\mu\text{A}; V_{CC}=6.0\text{V}$	5.9	—	—	V
			$I_O=-4.0\text{mA}; V_{CC}=4.5\text{V}$	3.84	—	—	V
			$I_O=-5.2\text{mA}; V_{CC}=6.0\text{V}$	5.34	—	—	V
低电平输出电压	V_{OL}	$V_I=V_{IH}\text{或}V_{IL}$	$I_O=20\mu\text{A}; V_{CC}=2.0\text{V}$	—	—	0.1	V
			$I_O=20\mu\text{A}; V_{CC}=4.5\text{V}$	—	—	0.1	V
			$I_O=20\mu\text{A}; V_{CC}=6.0\text{V}$	—	—	0.1	V
			$I_O=4.0\text{mA}; V_{CC}=4.5\text{V}$	—	—	0.33	V
			$I_O=5.2\text{mA}; V_{CC}=6.0\text{V}$	—	—	0.33	V
输入漏电流	I_I	$V_I=V_{CC}\text{或GND}; V_{CC}=6.0\text{V}$		—	—	± 1	μA
静态电流	I_{CC}	$V_I=V_{CC}\text{或GND}; I_O=0\text{A}; V_{CC}=6.0\text{V}$		—	—	80	μA
SN74HCT165							
高电平输入电压	V_{IH}	$V_{CC}=4.5\text{V}\sim 5.5\text{V}$		2.0	—	—	V
低电平输入电压	V_{IL}	$V_{CC}=4.5\text{V}\sim 5.5\text{V}$		—	—	0.8	V
高电平输出电压	V_{OH}	$V_I=V_{IH}\text{或}V_{IL}; V_{CC}=4.5\text{V}$	$I_O=-20\mu\text{A}$	4.4	—	—	V
			$I_O=-4.0\text{mA}$	3.84	—	—	V
低电平输出电压	V_{OL}	$V_I=V_{IH}\text{或}V_{IL}$	$I_O=20\mu\text{A}; V_{CC}=4.5\text{V}$	—	—	0.1	V
			$I_O=5.2\text{mA}; V_{CC}=6.0\text{V}$	—	—	0.33	V
输入漏电流	I_I	$V_I=V_{CC}\text{或GND}; V_{CC}=6.0\text{V}$		—	—	± 1	μA
静态电流	I_{CC}	$V_I=V_{CC}\text{或GND}; I_O=0\text{A}; V_{CC}=6.0\text{V}$		—	—	80	μA
串通电流	ΔI_{CC}	每个输入引脚; $V_I=V_{CC}-2.1\text{V}$; 其他输入接在 V_{CC} 或 GND 上; $V_{CC}=4.5\text{V}\sim 5.5\text{V}$	Dn和DS输入	—	—	157.5	μA
			CP, $\bar{\text{CE}}$ 和 $\bar{\text{PL}}$ 输入	—	—	292.5	μA



3.3.3、直流参数 3

(除非另有规定, $T_{amb}=-40^{\circ}\text{C}\sim+125^{\circ}\text{C}$, $\text{GND}=0\text{V}$)

参数名称	符号	测试条件		最小	典型	最大	单位
SN74HC165							
高电平输入电压	V_{IH}	$V_{CC}=2.0\text{V}$		1.5	—	—	V
		$V_{CC}=4.5\text{V}$		3.15	—	—	V
		$V_{CC}=6.0\text{V}$		4.2	—	—	V
低电平输入电压	V_{IL}	$V_{CC}=2.0\text{V}$		—	—	0.5	V
		$V_{CC}=4.5\text{V}$		—	—	1.35	V
		$V_{CC}=6.0\text{V}$		—	—	1.8	V
高电平输出电压	V_{OH}	$V_I=V_{IH}$ 或 V_{IL}	$I_O=-20\mu\text{A}$; $V_{CC}=2.0\text{V}$	1.9	—	—	V
			$I_O=-20\mu\text{A}$; $V_{CC}=4.5\text{V}$	4.4	—	—	V
			$I_O=-20\mu\text{A}$; $V_{CC}=6.0\text{V}$	5.9	—	—	V
			$I_O=-4.0\text{mA}$; $V_{CC}=4.5\text{V}$	3.7	—	—	V
			$I_O=-5.2\text{mA}$; $V_{CC}=6.0\text{V}$	5.2	—	—	V
低电平输出电压	V_{OL}	$V_I=V_{IH}$ 或 V_{IL}	$I_O=20\mu\text{A}$; $V_{CC}=2.0\text{V}$	—	—	0.1	V
			$I_O=20\mu\text{A}$; $V_{CC}=4.5\text{V}$	—	—	0.1	V
			$I_O=20\mu\text{A}$; $V_{CC}=6.0\text{V}$	—	—	0.1	V
			$I_O=4.0\text{mA}$; $V_{CC}=4.5\text{V}$	—	—	0.4	V
			$I_O=5.2\text{mA}$; $V_{CC}=6.0\text{V}$	—	—	0.4	V
输入漏电流	I_I	$V_I=V_{CC}$ 或 GND ; $V_{CC}=6.0\text{V}$		—	—	± 1	μA
静态电流	I_{CC}	$V_I=V_{CC}$ 或 GND ; $I_O=0\text{A}$; $V_{CC}=6.0\text{V}$		—	—	160	μA
SN74HCT165							
高电平输入电压	V_{IH}	$V_{CC}=4.5\text{V}\sim 5.5\text{V}$		2.0	—	—	V
低电平输入电压	V_{IL}	$V_{CC}=4.5\text{V}\sim 5.5\text{V}$		—	—	0.8	V
高电平输出电压	V_{OH}	$V_I=V_{IH}$ 或 V_{IL} ; $V_{CC}=4.5\text{V}$	$I_O=-20\mu\text{A}$	4.4	—	—	V
			$I_O=-4.0\text{mA}$	3.7	—	—	V
低电平输出电压	V_{OL}	$V_I=V_{IH}$ 或 V_{IL}	$I_O=20\mu\text{A}$; $V_{CC}=4.5\text{V}$	—	—	0.1	V
			$I_O=5.2\text{mA}$; $V_{CC}=6.0\text{V}$	—	—	0.4	V
输入漏电流	I_I	$V_I=V_{CC}$ 或 GND ; $V_{CC}=6.0\text{V}$		—	—	± 1	μA
静态电流	I_{CC}	$V_I=V_{CC}$ 或 GND ; $I_O=0\text{A}$; $V_{CC}=6.0\text{V}$		—	—	160	μA
串通电流	ΔI_{CC}	每个输入引脚; $V_I=V_{CC}-2.1\text{V}$; 其他输入接在 V_{CC} 或 GND 上; $V_{CC}=4.5\text{V}\sim 5.5\text{V}$	Dn和DS输入	—	—	171.5	μA
			CP, $\overline{\text{CE}}$ 和 $\overline{\text{PL}}$ 输入	—	—	318.5	μA



3.3.4、交流参数 1

(除非另有规定, $T_{amb}=25^{\circ}\text{C}$, $\text{GND}=0\text{V}$, $C_L=50\text{pF}$)

参数名称	符号	测试条件	最小	典型	最大	单位			
SN74HC165									
传输延时	t_{PLH} , t_{PHL}	CP, $\overline{\text{CE}}$ 到Q7, $\overline{\text{Q7}}$; 见图6	$V_{CC}=2.0\text{V}$	—	52	165	ns		
			$V_{CC}=4.5\text{V}$	—	19	33	ns		
			$V_{CC}=5.0\text{V}; C_L=15\text{pF}$	—	16	—	ns		
				PL到Q7, $\overline{\text{Q7}}$; 见图7	$V_{CC}=2.0\text{V}$	—	50	165	ns
					$V_{CC}=4.5\text{V}$	—	18	33	ns
					$V_{CC}=5.0\text{V}; C_L=15\text{pF}$	—	15	—	ns
				D7到Q7, $\overline{\text{Q7}}$; 见图8	$V_{CC}=2.0\text{V}$	—	36	120	ns
					$V_{CC}=4.5\text{V}$	—	13	24	ns
					$V_{CC}=5.0\text{V}; C_L=15\text{pF}$	—	11	—	ns
		转换时间	t_{THL} , t_{TLH}	Q7, $\overline{\text{Q7}}$ 输出; 见图6	$V_{CC}=2.0\text{V}$	—	19	75	ns
					$V_{CC}=4.5\text{V}$	—	7	15	ns
					$V_{CC}=6.0\text{V}$	—	6	13	ns
脉冲宽度	t_w	CP输入高电平或 低电平; 见图6	$V_{CC}=2.0\text{V}$	80	17	—	ns		
			$V_{CC}=4.5\text{V}$	16	6	—	ns		
			$V_{CC}=6.0\text{V}$	14	5	—	ns		
		PL输入低电平; 见图7	$V_{CC}=2.0\text{V}$	80	14	—	ns		
			$V_{CC}=4.5\text{V}$	16	5	—	ns		
			$V_{CC}=6.0\text{V}$	14	4	—	ns		
恢复时间	t_{rec}	PL到CP, $\overline{\text{CE}}$; 见图7	$V_{CC}=2.0\text{V}$	100	22	—	ns		
			$V_{CC}=4.5\text{V}$	20	8	—	ns		
			$V_{CC}=6.0\text{V}$	17	6	—	ns		
建立时间	t_{su}	DS到CP, $\overline{\text{CE}}$; 见图9	$V_{CC}=2.0\text{V}$	80	11	—	ns		
			$V_{CC}=4.5\text{V}$	16	4	—	ns		
			$V_{CC}=6.0\text{V}$	14	3	—	ns		
		$\overline{\text{CE}}$ 到CP和CP到 $\overline{\text{CE}}$; 见图9	$V_{CC}=2.0\text{V}$	80	17	—	ns		
			$V_{CC}=4.5\text{V}$	16	6	—	ns		
			$V_{CC}=6.0\text{V}$	14	5	—	ns		
		Dn到PL; 见图10	$V_{CC}=2.0\text{V}$	80	22	—	ns		
			$V_{CC}=4.5\text{V}$	16	8	—	ns		
			$V_{CC}=6.0\text{V}$	14	6	—	ns		
保持时间	t_h	DS到CP, $\overline{\text{CE}}$ 和Dn 到PL; 见图9	$V_{CC}=2.0\text{V}$	5	2	—	ns		
			$V_{CC}=4.5\text{V}$	5	2	—	ns		
			$V_{CC}=6.0\text{V}$	5	2	—	ns		
		$\overline{\text{CE}}$ 到CP和CP到 $\overline{\text{CE}}$; 见图9	$V_{CC}=2.0\text{V}$	5	-17	—	ns		
			$V_{CC}=4.5\text{V}$	5	-6	—	ns		
			$V_{CC}=6.0\text{V}$	5	-5	—	ns		
最大频率	f_{max}	CP输入; 见图6	$V_{CC}=2.0\text{V}$	6	—	—	MHz		



			$V_{CC}=4.5V$	30	—	—	MHz
			$V_{CC}=5.0V; C_L=15pF$	32	—	—	MHz
			$V_{CC}=6.0V$	35	—	—	MHz
SN74HCT165							
传输延时	t_{PLH}, t_{PHL}	CP, \overline{CE} 到Q7, $\overline{Q7}$; 见图6	$V_{CC}=4.5V$	—	17	34	ns
			$V_{CC}=5.0V; C_L=15pF$	—	14	—	ns
		PL到Q7, $\overline{Q7}$; 见图7	$V_{CC}=4.5V$	—	20	40	ns
			$V_{CC}=5.0V; C_L=15pF$	—	17	—	ns
		D7到Q7, $\overline{Q7}$; 见图8	$V_{CC}=4.5V$	—	14	28	ns
			$V_{CC}=5.0V; C_L=15pF$	—	11	—	ns
转换时间	t_{THL}, t_{TLH}	Q7, $\overline{Q7}$ 输出; 见图6	$V_{CC}=4.5V$	—	7	15	ns
脉冲宽度	t_w	CP输入; 见图6	$V_{CC}=4.5V$	16	6	—	ns
		PL输入; 见图7	$V_{CC}=4.5V$	20	9	—	ns
恢复时间	t_{rec}	PL到CP, \overline{CE} ; 见图7	$V_{CC}=4.5V$	20	8	—	ns
建立时间	t_{su}	DS到CP, \overline{CE} ; 见图9	$V_{CC}=4.5V$	20	2	—	ns
		\overline{CE} 到CP和CP到 \overline{CE} ; 见图9	$V_{CC}=4.5V$	20	7	—	ns
		Dn到PL; 见图10	$V_{CC}=4.5V$	20	10	—	ns
保持时间	t_h	DS到CP, \overline{CE} 和Dn 到PL; 见图9	$V_{CC}=4.5V$	7	-1	—	ns
		\overline{CE} 到CP和CP到 \overline{CE} ; 见图9	$V_{CC}=4.5V$	0	-7	—	ns
最大频率	f_{max}	CP输入; 见图6	$V_{CC}=4.5V$	26	—	—	MHz
			$V_{CC}=5.0V; C_L=15pF$	28	—	—	MHz



3.3.5、交流参数 2

(除非另有规定, $T_{amb}=-40^{\circ}\text{C}\sim+85^{\circ}\text{C}$, $\text{GND}=0\text{V}$, $C_L=50\text{pF}$)

参数名称	符号	测试条件	最小	典型	最大	单位	
SN74HC165							
传输延时	t_{PLH} , t_{PHL}	CP, $\bar{C}E$ 到Q7, $\bar{Q}7$; 见图6	$V_{CC}=2.0\text{V}$	—	—	205	ns
			$V_{CC}=4.5\text{V}$	—	—	41	ns
			$V_{CC}=6.0\text{V}$	—	—	35	ns
		$\bar{P}L$ 到Q7, $\bar{Q}7$; 见图7	$V_{CC}=2.0\text{V}$	—	—	205	ns
			$V_{CC}=4.5\text{V}$	—	—	41	ns
			$V_{CC}=6.0\text{V}$	—	—	35	ns
		D7到Q7, $\bar{Q}7$; 见图8	$V_{CC}=2.0\text{V}$	—	—	150	ns
			$V_{CC}=4.5\text{V}$	—	—	30	ns
			$V_{CC}=6.0\text{V}$	—	—	26	ns
转换时间	t_{THL} , t_{TLH}	Q7, $\bar{Q}7$ 输出; 见图6	$V_{CC}=2.0\text{V}$	—	—	95	ns
			$V_{CC}=4.5\text{V}$	—	—	19	ns
			$V_{CC}=6.0\text{V}$	—	—	16	ns
脉冲宽度	t_w	CP输入高电平或 低电平; 见图6	$V_{CC}=2.0\text{V}$	100	—	—	ns
			$V_{CC}=4.5\text{V}$	20	—	—	ns
			$V_{CC}=6.0\text{V}$	17	—	—	ns
		$\bar{P}L$ 输入低电平; 见图7	$V_{CC}=2.0\text{V}$	100	—	—	ns
			$V_{CC}=4.5\text{V}$	20	—	—	ns
			$V_{CC}=6.0\text{V}$	17	—	—	ns
恢复时间	t_{rec}	$\bar{P}L$ 到CP, $\bar{C}E$; 见图7	$V_{CC}=2.0\text{V}$	125	—	—	ns
			$V_{CC}=4.5\text{V}$	25	—	—	ns
			$V_{CC}=6.0\text{V}$	21	—	—	ns
建立时间	t_{su}	DS到CP, $\bar{C}E$; 见图9	$V_{CC}=2.0\text{V}$	100	—	—	ns
			$V_{CC}=4.5\text{V}$	20	—	—	ns
			$V_{CC}=6.0\text{V}$	17	—	—	ns
		$\bar{C}E$ 到CP和CP到 $\bar{C}E$; 见图9	$V_{CC}=2.0\text{V}$	100	—	—	ns
			$V_{CC}=4.5\text{V}$	20	—	—	ns
			$V_{CC}=6.0\text{V}$	17	—	—	ns
		Dn到 $\bar{P}L$; 见图10	$V_{CC}=2.0\text{V}$	100	—	—	ns
			$V_{CC}=4.5\text{V}$	20	—	—	ns
			$V_{CC}=6.0\text{V}$	17	—	—	ns
保持时间	t_h	DS到CP, $\bar{C}E$ 和Dn 到 $\bar{P}L$; 见图9	$V_{CC}=2.0\text{V}$	5	—	—	ns
			$V_{CC}=4.5\text{V}$	5	—	—	ns
			$V_{CC}=6.0\text{V}$	5	—	—	ns
		$\bar{C}E$ 到CP和CP到 $\bar{C}E$; 见图9	$V_{CC}=2.0\text{V}$	5	—	—	ns
			$V_{CC}=4.5\text{V}$	5	—	—	ns
			$V_{CC}=6.0\text{V}$	5	—	—	ns
最大频率	f_{max}	CP输入; 见图6	$V_{CC}=2.0\text{V}$	5	—	—	MHz
			$V_{CC}=4.5\text{V}$	24	—	—	MHz
			$V_{CC}=6.0\text{V}$	28	—	—	MHz
SN74HCT165							



传输延时	t_{PLH} , t_{PHL}	CP, \overline{CE} 到 $\overline{Q7}$, $\overline{Q7}$; 见图6	$V_{CC}=4.5V$	—	—	43	ns
		\overline{PL} 到 $\overline{Q7}$, $\overline{Q7}$; 见图7	$V_{CC}=4.5V$	—	—	50	ns
		D7到 $\overline{Q7}$, $\overline{Q7}$; 见图8	$V_{CC}=4.5V$	—	—	35	ns
转换时间	t_{THL} , t_{TLH}	$\overline{Q7}$, $\overline{Q7}$ 输出; 见图6	$V_{CC}=4.5V$	—	—	19	ns
脉冲宽度	t_w	CP输入; 见图6	$V_{CC}=4.5V$	20	—	—	ns
		\overline{PL} 输入; 见图7	$V_{CC}=4.5V$	25	—	—	ns
恢复时间	t_{rec}	\overline{PL} 到CP, \overline{CE} ; 见图7	$V_{CC}=4.5V$	25	—	—	ns
建立时间	t_{su}	DS到CP, \overline{CE} ; 见 图9	$V_{CC}=4.5V$	25	—	—	ns
		\overline{CE} 到CP和CP到 \overline{CE} ; 见图9	$V_{CC}=4.5V$	25	—	—	ns
		Dn到 \overline{PL} ; 见图10	$V_{CC}=4.5V$	25	—	—	ns
保持时间	t_h	DS到CP, \overline{CE} 和Dn 到 \overline{PL} ; 见图9	$V_{CC}=4.5V$	9	—	—	ns
		\overline{CE} 到CP和CP到 \overline{CE} ; 见图9	$V_{CC}=4.5V$	0	—	—	ns
最大频率	f_{max}	CP输入; 见图6	$V_{CC}=4.5V$	21	—	—	MHz



3.3.6、交流参数 3

(除非另有规定, $T_{amb}=-40^{\circ}\text{C}\sim+125^{\circ}\text{C}$, $GND=0\text{V}$, $C_L=50\text{pF}$)

参数名称	符号	测试条件	最小	典型	最大	单位	
SN74HC165							
传输延时	t_{PLH} , t_{PHL}	CP, $\bar{C}E$ 到Q7, $\bar{Q}7$; 见图6	$V_{CC}=2.0\text{V}$	—	—	250	ns
			$V_{CC}=4.5\text{V}$	—	—	50	ns
			$V_{CC}=6.0\text{V}$	—	—	43	ns
		$\bar{P}L$ 到Q7, $\bar{Q}7$; 见图7	$V_{CC}=2.0\text{V}$	—	—	250	ns
			$V_{CC}=4.5\text{V}$	—	—	50	ns
			$V_{CC}=6.0\text{V}$	—	—	43	ns
		D7到Q7, $\bar{Q}7$; 见图8	$V_{CC}=2.0\text{V}$	—	—	180	ns
			$V_{CC}=4.5\text{V}$	—	—	36	ns
			$V_{CC}=6.0\text{V}$	—	—	31	ns
转换时间	t_{THL} , t_{TLH}	Q7, $\bar{Q}7$ 输出; 见图6	$V_{CC}=2.0\text{V}$	—	—	110	ns
			$V_{CC}=4.5\text{V}$	—	—	22	ns
			$V_{CC}=6.0\text{V}$	—	—	19	ns
脉冲宽度	t_w	CP输入高电平或 低电平; 见图6	$V_{CC}=2.0\text{V}$	120	—	—	ns
			$V_{CC}=4.5\text{V}$	24	—	—	ns
			$V_{CC}=6.0\text{V}$	20	—	—	ns
		$\bar{P}L$ 输入低电平; 见图7	$V_{CC}=2.0\text{V}$	120	—	—	ns
			$V_{CC}=4.5\text{V}$	24	—	—	ns
			$V_{CC}=6.0\text{V}$	20	—	—	ns
恢复时间	t_{rec}	$\bar{P}L$ 到CP, $\bar{C}E$; 见图7	$V_{CC}=2.0\text{V}$	150	—	—	ns
			$V_{CC}=4.5\text{V}$	30	—	—	ns
			$V_{CC}=6.0\text{V}$	26	—	—	ns
建立时间	t_{su}	DS到CP, $\bar{C}E$; 见图9	$V_{CC}=2.0\text{V}$	120	—	—	ns
			$V_{CC}=4.5\text{V}$	24	—	—	ns
			$V_{CC}=6.0\text{V}$	20	—	—	ns
		$\bar{C}E$ 到CP和CP到 $\bar{C}E$; 见图9	$V_{CC}=2.0\text{V}$	120	—	—	ns
			$V_{CC}=4.5\text{V}$	24	—	—	ns
			$V_{CC}=6.0\text{V}$	20	—	—	ns
		Dn到 $\bar{P}L$; 见图10	$V_{CC}=2.0\text{V}$	120	—	—	ns
			$V_{CC}=4.5\text{V}$	24	—	—	ns
			$V_{CC}=6.0\text{V}$	20	—	—	ns
保持时间	t_h	DS到CP, $\bar{C}E$ 和Dn 到 $\bar{P}L$; 见图9	$V_{CC}=2.0\text{V}$	5	—	—	ns
			$V_{CC}=4.5\text{V}$	5	—	—	ns
			$V_{CC}=6.0\text{V}$	5	—	—	ns
		$\bar{C}E$ 到CP和CP到 $\bar{C}E$; 见图9	$V_{CC}=2.0\text{V}$	5	—	—	ns
			$V_{CC}=4.5\text{V}$	5	—	—	ns
			$V_{CC}=6.0\text{V}$	5	—	—	ns
最大频率	f_{max}	CP输入; 见图6	$V_{CC}=2.0\text{V}$	5	—	—	MHz
			$V_{CC}=4.5\text{V}$	20	—	—	MHz
			$V_{CC}=6.0\text{V}$	24	—	—	MHz
SN74HCT165							



传输延时	t_{PLH} , t_{PHL}	CP, \overline{CE} 到 $\overline{Q7}$, $\overline{Q7}$; 见图6	$V_{CC}=4.5V$	—	—	43	ns
		\overline{PL} 到 $\overline{Q7}$, $\overline{Q7}$; 见图7	$V_{CC}=4.5V$	—	—	50	ns
		D7到 $\overline{Q7}$, $\overline{Q7}$; 见图8	$V_{CC}=4.5V$	—	—	35	ns
转换时间	t_{THL} , t_{TLH}	$\overline{Q7}$, $\overline{Q7}$ 输出; 见图6	$V_{CC}=4.5V$	—	—	19	ns
脉冲宽度	t_w	CP输入; 见图6	$V_{CC}=4.5V$	24	—	—	ns
		\overline{PL} 输入; 见图7	$V_{CC}=4.5V$	30	—	—	ns
恢复时间	t_{rec}	\overline{PL} 到CP, \overline{CE} ; 见图7	$V_{CC}=4.5V$	30	—	—	ns
建立时间	t_{su}	DS到CP, \overline{CE} ; 见 图9	$V_{CC}=4.5V$	30	—	—	ns
		\overline{CE} 到CP和CP到 \overline{CE} ; 见图9	$V_{CC}=4.5V$	30	—	—	ns
		Dn到 \overline{PL} ; 见图10	$V_{CC}=4.5V$	30	—	—	ns
保持时间	t_h	DS到CP, \overline{CE} 和Dn 到 \overline{PL} ; 见图9	$V_{CC}=4.5V$	11	—	—	ns
		\overline{CE} 到CP和CP到 \overline{CE} ; 见图9	$V_{CC}=4.5V$	0	—	—	ns
最大频率	f_{max}	CP输入; 见图6	$V_{CC}=4.5V$	17	—	—	MHz



4、测试线路

4.1、交流测试线路

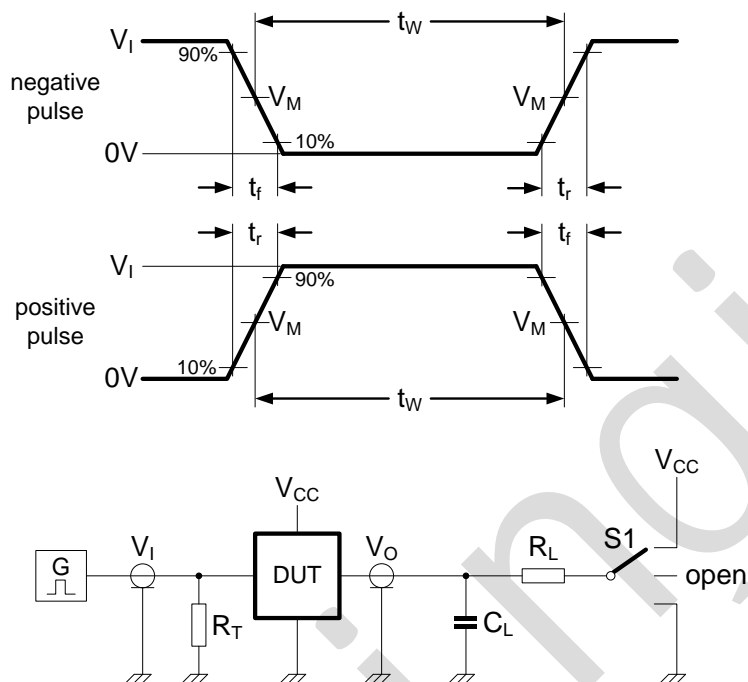


图5 测量开关时间的测试电路

测试电路的定义:

C_L =负载电容, 包括探针、夹子上的电容

R_T =终端电阻须与信号发生器的输出阻抗 Z_o 匹配

R_L =负载电阻

S1=测试选择开关



4.2、交流测试波形

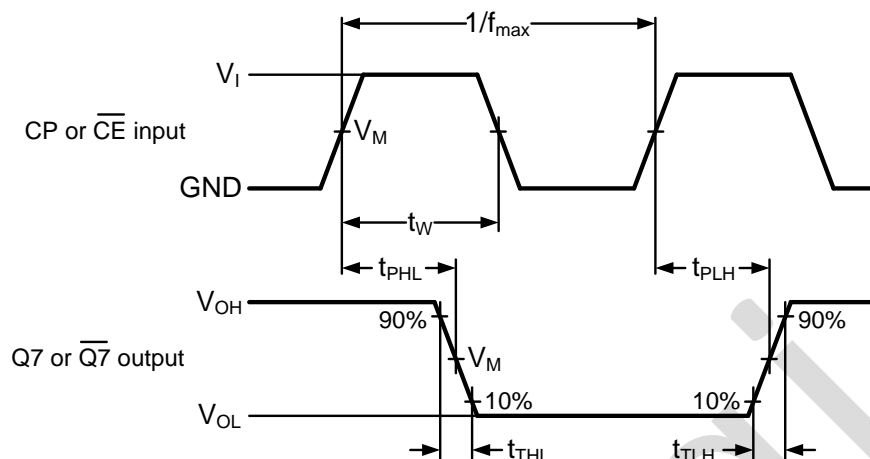


图 6 时钟 (CP) 或时钟使能 (\overline{CE}) 到输出端 (Q7 或 $\overline{Q7}$) 的传输延时、时钟脉宽、输出转换时间和最大时钟频率

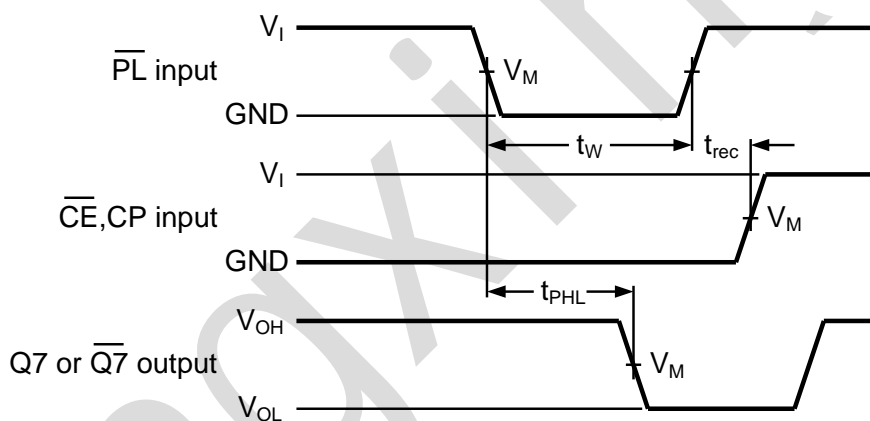


图 7 并行加载 (\overline{PL}) 脉宽, 并行加载到输出端 (Q7 或 $\overline{Q7}$) 的传输延时、并行加载到时钟 (CP) 和时钟使能 (\overline{CE}) 的恢复时间

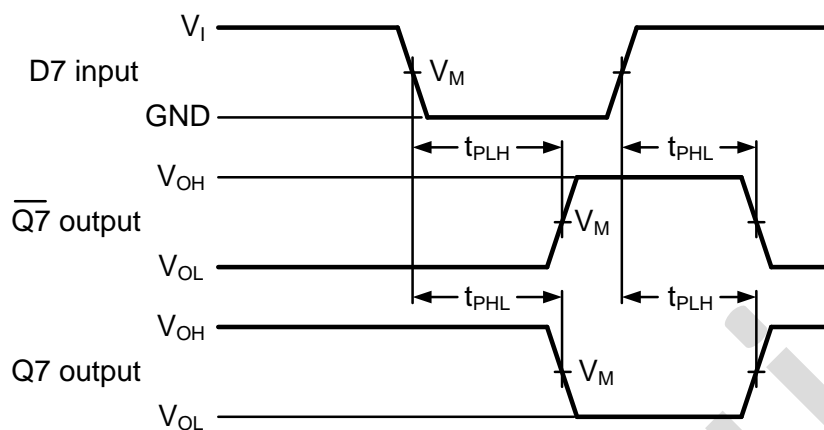
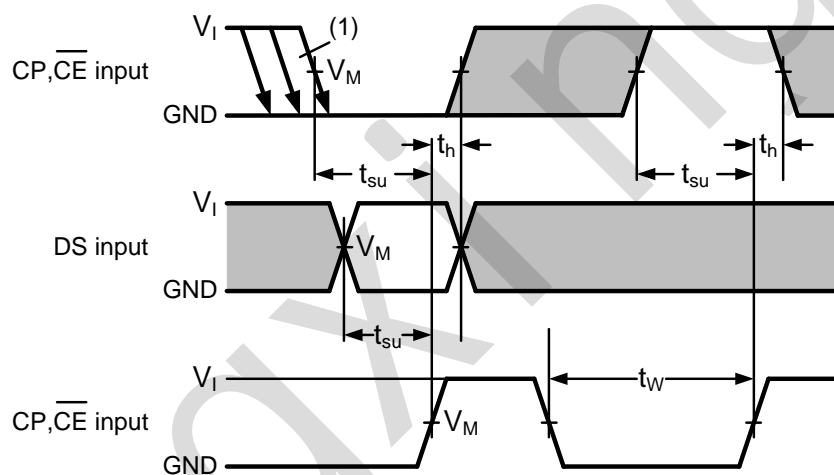


图 8 当 \overline{PL} 为低电平时数据输入 (D7) 到输出 (Q7 或 $\overline{Q7}$) 的传输延时



(1) \overline{CE} 只能在 CP 为低电平时从低电平变为高电平。

图9 从串行数据输入 (DS) 到时钟 (CP) 和时钟使能输入 (\overline{CE})，从时钟使能输入 (\overline{CE}) 到时钟输入 (CP) 以及从时钟输入 (CP) 到时钟使能输入 (\overline{CE}) 的建立时间和保持时间

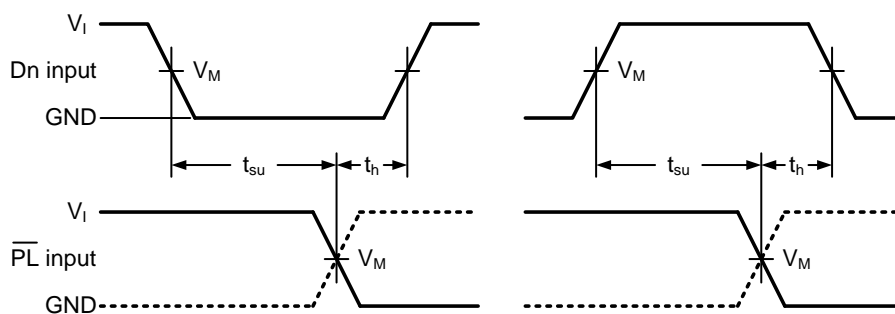


图10 数据输入 (Dn) 到并联负载输入 (\bar{PL}) 的建立时间和保持时间

4.3、测试点

类型	输入		输出
	V_I	V_M	V_M
SN74HC165	V_{CC}	$0.5 \times V_{CC}$	$0.5 \times V_{CC}$
SN74HCT165	3V	1.3V	1.3V

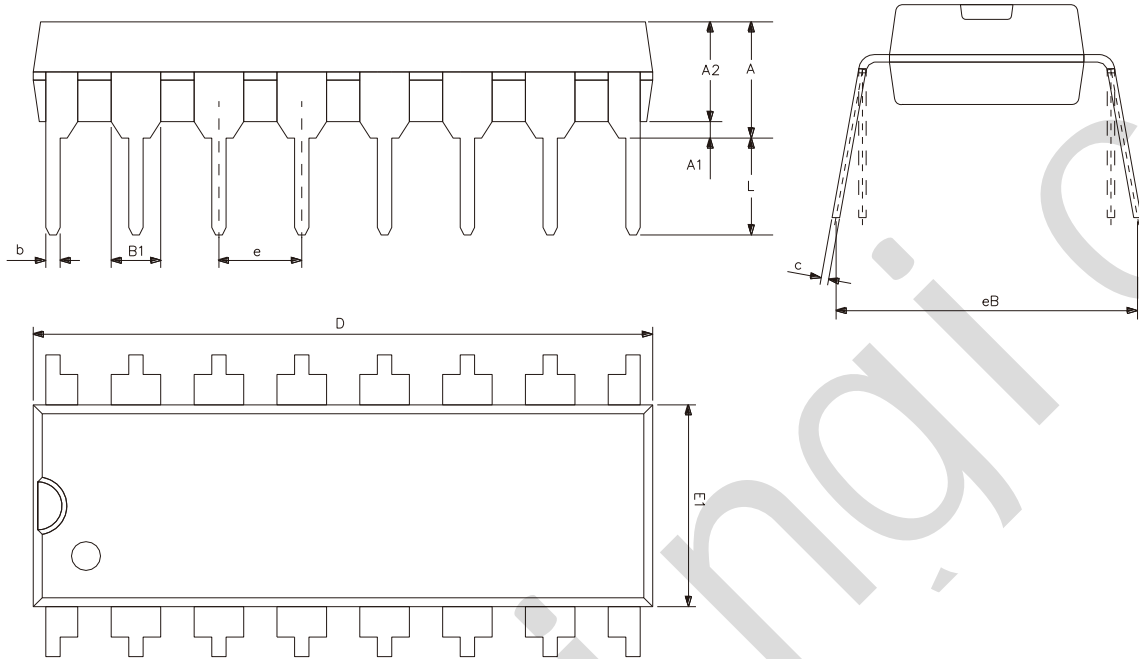
4.4、测试数据

类型	输入		负载		S1 位置
	V_I	t_r, t_f	C_L	R_L	t_{PHL}, t_{PLH}
SN74HC165	V_{CC}	6.0ns	15pF, 50pF	1k Ω	open
SN74HCT165	3.0V	6.0ns	15pF, 50pF	1k Ω	open



5、封装尺寸与外形图

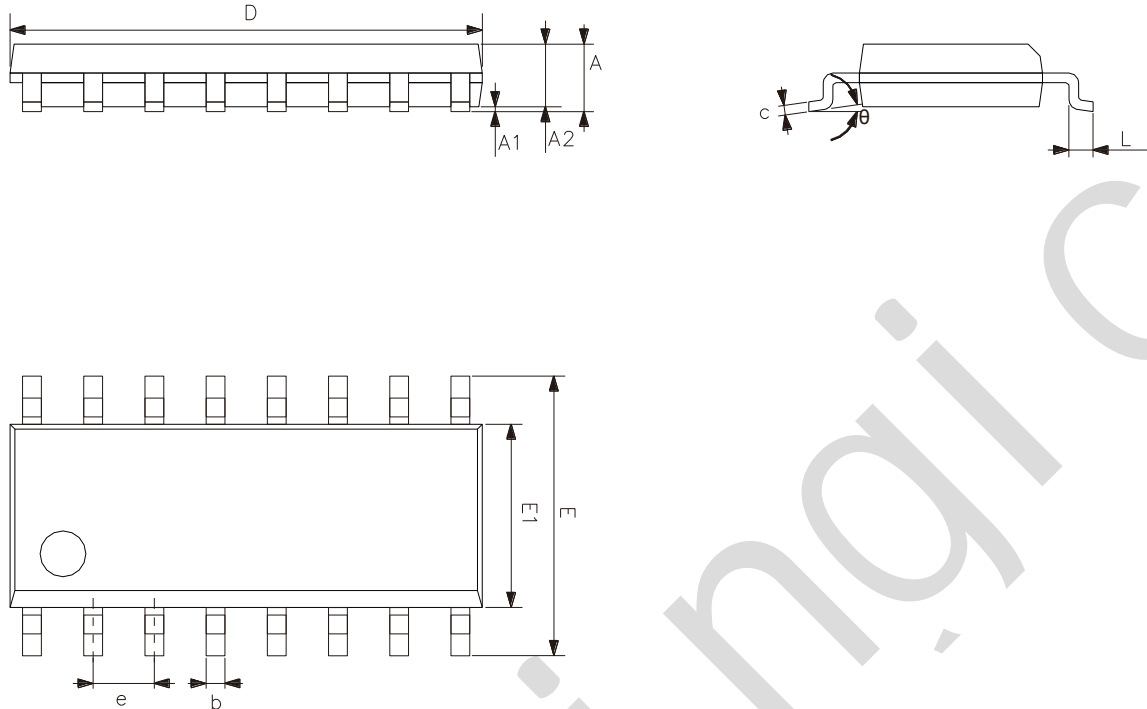
5.1、DIP16 外形图与封装尺寸



符 号	尺 寸 (mm)	
	最小	最大
A2	3.20	3.60
A1	0.51	—
A	3.60	5.33
L	3.00	3.60
b	0.36	0.56
B1	1.52	
D	18.80	19.94
E1	6.20	6.60
e	2.54	
c	0.20	0.36
eB	7.62	9.30



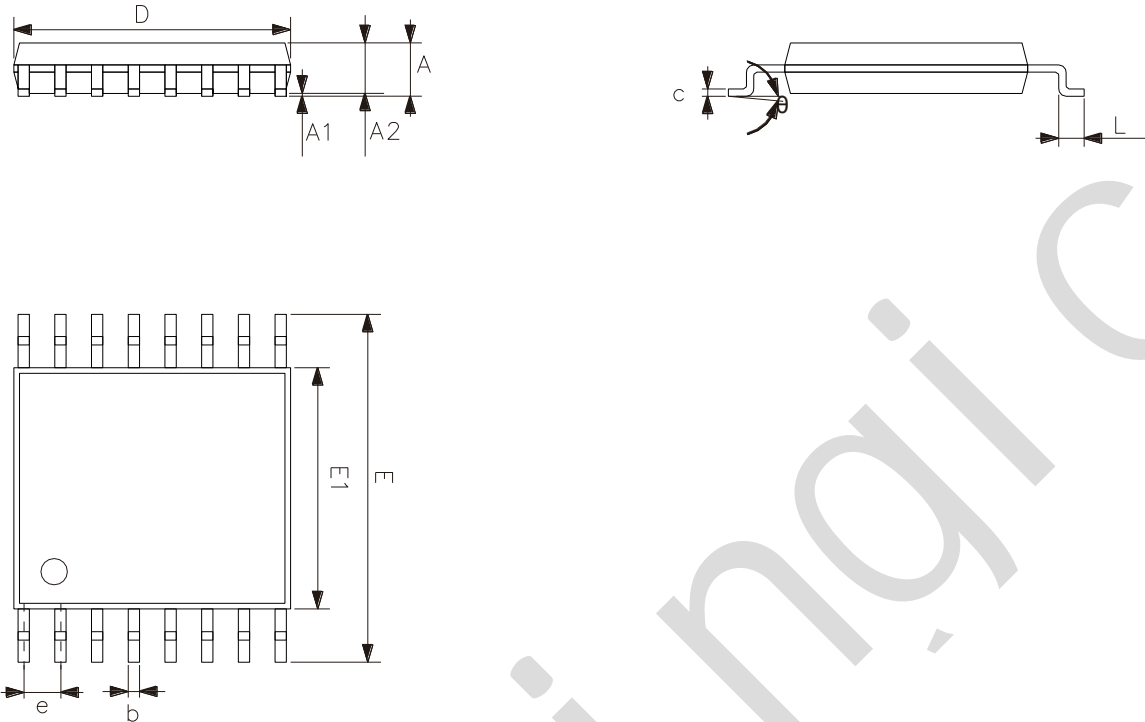
5.2、SOP16 外形图与封装尺寸



符号	尺寸 (mm)	
	最小	最大
A	1.35	1.80
A1	0.10	0.25
A2	1.25	1.55
b	0.33	0.51
c	0.19	0.25
D	9.50	10.10
E	5.80	6.30
E1	3.70	4.10
e	1.27	
L	0.35	0.89
θ	0°	8°



5.3、TSSOP16 外形图与封装尺寸



符号	尺寸 (mm)	
	最小	最大
A	—	1.20
A1	0.05	0.15
A2	0.80	1.05
b	0.19	0.30
c	0.09	0.20
D	4.90	5.10
E1	4.30	4.50
E	6.20	6.60
e	0.65	
L	0.45	0.75
θ	0°	8°



6、声明及注意事项

6.1、产品中有毒有害物质或元素的名称及含量

部件名称	有毒有害物质或元素									
	铅 (Pb)	汞 (Hg)	镉 (Cd)	六价铬 (Cr (VI))	多溴联苯 (PBBs)	多溴联苯醚 (PBD Es)	邻苯二甲酸二丁酯 (DBP)	邻苯二甲酸丁苯酯 (BBP)	邻苯二甲酸二(2-乙基己基)酯 (DEHP)	邻苯二甲酸二异丁酯 (DIBP)
引线框	○	○	○	○	○	○	○	○	○	○
塑封树脂	○	○	○	○	○	○	○	○	○	○
芯片	○	○	○	○	○	○	○	○	○	○
内引线	○	○	○	○	○	○	○	○	○	○
装片胶	○	○	○	○	○	○	○	○	○	○
说明	○: 表示该有毒有害物质或元素的含量在 SJ/T11363-2006 标准的检出限以下。 ×: 表示该有毒有害物质或元素的含量超出 SJ/T11363-2006 标准的限量要求。									

6.2、注意

在使用本产品之前建议仔细阅读本资料；

本资料仅供参考，本公司不作任何明示或暗示的保证，包括但不限于适用性、特殊应用或不侵犯第三方权利等。

本产品不适用于生命救援、生命维持或安全等关键设备，也不适用于因产品故障或失效可能导致人身伤害、死亡或严重财产或环境损害的应用。客户若针对此类应用应自行承担风险，本公司不负任何赔偿责任。

客户负责对使用本公司的应用进行所有必要的测试，以避免在应用或客户的第三方客户的应用中出现故障。本公司不承担这方面的任何责任。

本公司保留随时对本资料所发布信息进行更改或改进的权利，本资料中的信息如有变化，恕不另行通知，建议采购前咨询我司销售人员。

请从本公司的正规渠道获取资料，如果由本公司以外的来源提供，则本公司不对其内容负责。

X-ON Electronics

Largest Supplier of Electrical and Electronic Components

Click to view similar products for [Counter Shift Registers](#) category:

Click to view products by [lingxingic](#) manufacturer:

Other Similar products are found below :

[CD4031BE](#) [CD4034BE](#) [NLV74HC165ADTR2G](#) [5962-9172201M2A](#) [MC100EP142MNG](#) [MC100EP016AMNG](#) [MC74LV594ADR2G](#)
[NLV14094BDTR2G](#) [NLV74HC589ADR2G](#) [AiP74HC595TA16.TR](#) [SN74LS295BN](#) [AIP74HC164TA14.TR](#) [TM74HC164](#) [74HC164D](#)
[AiP74HC165SA16.TR](#) [74HC573D](#) [AiP74HC165TA16.TR](#) [XL74HC597-TS](#) [74HC164MT/TR](#) [XL74HC595TS](#) [74HC595DMT/TR](#)
[CD4094DMT/TR](#) [74HC595D\(MS\)](#) [CD4094DM/TR](#) [74HC164D](#) [GN165D](#) [74HC595DM/TR](#) [AIP74HC595SA.TR](#) [XL4021B](#)
[74HC164D\(MS\)](#) [74HC595MT/TR](#) [XL74HC165-TS](#) [74HC595D](#) [74HC595D](#) [74HC595D.](#) [74HCT595BQ](#) [RS595SXTSS16](#)
[Aip74HC595SA16.TR](#) [SN74LS164DR-HXY](#) [74HC164DR](#) [RS595SXS16](#) [74HC165-HXY](#) [74HC595E](#) [RS164XQ](#) [GN74HC595D](#)
[74HC164DRG](#) [XD74HC165](#) [SN74LV165AQWBQBRQ1](#) [AiP74HC4094SA16.TR](#) [HX74HC595IDRG](#)